

Algorithm for Lens Calculations in the Geometrized Maxwell Theory

M. N. Gevorkyan,^{1,*} A. V. Demidova,^{1,†} A. V. Korolkova,^{1,‡} D. S. Kulyabov,^{1,2,§} and L. A. Sebastianov^{1,3,¶}

¹*Department of Applied Probability and Informatics,
Peoples' Friendship University of Russia (RUDN University),
6 Miklukho-Maklaya str., Moscow, 117198, Russia*

²*Laboratory of Information Technologies
Joint Institute for Nuclear Research
6 Joliot-Curie, Dubna, Moscow region, 141980, Russia*

³*Bogoliubov Laboratory of Theoretical Physics
Joint Institute for Nuclear Research
6 Joliot-Curie, Dubna, Moscow region, 141980, Russia*

Nowadays the geometric approach in optics is often used to find out media parameters based on propagation paths of the rays because in this case it is a direct problem. However inverse problem in the framework of geometrical optics is usually not given attention.

The aim of this work is to demonstrate the work of the proposed the algorithm in the framework of geometrical approach to optics for solving the problem of finding the propagation path of the electromagnetic radiation depending on environmental parameters. The methods of differential geometry are used for effective metrics construction for isotropic and anisotropic media. For effective metric space ray trajectories are obtained in the form of geodesic curves. The introduced algorithm is applied to well-known objects — Maxwell and Luneburg lenses. The similarity of results obtained by classical and geometric approach is demonstrated.

Keywords: Maxwell equations, Riemannian metric, fiber bundles, Maxwell fish-eye lens, Luneburg lens

* gevorkyan_mn@rudn.university

† demidova_av@rudn.university

‡ korolkova_av@rudn.university

§ kulyabov_ds@rudn.university

¶ sebastianov_la@rudn.university

I. INTRODUCTION

Geometrical approach to Maxwell's equations has passed through several stages in its development. Initial interest was caused by the General theory of relativity. The works of L. I. Mandelstam, I. E. Tamm [1–3], W. Gordon [4] belong to this period. In the absence of practical applications the interest for this subject has gone. A new surge of interest arose during the Golden age of the theory of relativity (1960–1975). The works of J. Plebanski [5], F. Felice [6] belong to this period. However, it should be noted that in this period scientists failed to determine the application of developed theory.

A new outbreak of interest in the geometric approach emerged in the mid 2000 as a side effect of the interest in metamaterials [7]. We shall mention the studies of J. B. Pendry [8, 9] and U. Leonhardt [10, 11]. These works gave rise to the whole direction — transformational optics [12].

For the classical approach to optics the direct and inverse problems are usually formulated as follows:

- the direct problem: from the environment settings to obtain the path of electromagnetic waves propagation;
- the inverse problem: from given propagation paths of electromagnetic waves to obtain environment parameters.

For the geometric approach to optics these problems are swapped:

- the direct problem: for a given distribution paths of electromagnetic waves to obtain environment (medium) parameters;
- the inverse problem: from parameters of the environment to obtain the propagation path of electromagnetic waves.

Therefore, transformation optics works with direct problem of geometric optics (the inverse problem of classical optics).

Usually, in the framework of geometrical optics only a direct problem is solved, i.e. the task of finding the parameters of the environment from the propagation path of electromagnetic waves. This framework does not focus on the inverse problem, i.e. finding the propagation path of electromagnetic waves according to the known parameters of the medium.

This work aims to consistently present the algorithm of lenses calculations with use of geometrical optics approach and demonstrate the convergence of our results with the results of the classical optics approach.

The structure of this paper is as follows. In section II the basic notation and conventions used in the article are given. In section III we describe the algorithm for inverse problem of geometrical optics. In paragraph IV we present examples of calculation of specific lenses. The results of numerical experiment are presented in graphical form.

II. NOTATIONS AND CONVENTIONS

1. We will use the notation of abstract indices [13]. In this notation tensor as a complete object is denoted merely by an index (e.g., x^i). Its components are designated by underlined indices (e.g., \underline{x}^i).
2. We will adhere to the following agreements. Greek indices (α, β) will refer to the four-dimensional space, in the component form it looks like: $\underline{\alpha} = \overline{0,3}$. Latin indices from the middle of the alphabet (i, j, k) will refer to the three-dimensional space, in the component form it looks like: $\underline{i} = \overline{1,3}$.

III. THE ALGORITHM OF SOLVING THE INVERSE PROBLEM OF GEOMETRICAL OPTICS

Although geometrical optics deals with the direct problem of obtaining environmental parameters from rays propagation trajectories, it is possible to solve the inverse problem: calculation of lenses parameters.

Let us consider several options for solving the inverse problem of geometrical optics, namely, the cases of isotropic and anisotropic media.

We will use the following algorithm for solving the inverse problem.

1. Inputs are the environmental parameters such as the permittivity ε_{ij} and the permeability μ_{ij} and the refractive index n_{ij} . If we take into account specifics of the geometrization based on quadratic metric, we have to consider only the refractive index.
2. From physical considerations, we choose ansatz for the effective metric tensor $g_{\alpha\beta}$.

3. Based on this ansatz we obtain the general form of effective metric tensor $g_{\alpha\beta}$. This process is iterative. There is no guarantee that the chosen ansatz will give the opportunity to obtain metric tensor. In this case we have to choose another ansatz.
4. By substituting specific values of the parameters of the environment, we will receive a specific implementation of an effective metric tensor $g_{\alpha\beta}$.

Having an effective metric tensor, we can solve geometrical Maxwell equations and obtain the desired propagation path of electromagnetic waves [14, 15]. In this paper we will use the geometric optics approximation [16, 17]. For this case, the rays will be propagated along the geodesic curve [18, 19]:

$$\frac{d^2x^\gamma}{dt^2} + \Gamma_{\alpha\beta}^\gamma \frac{dx^\alpha}{dt} \frac{dx^\beta}{dt} = 0,$$

where $x^\gamma(t)$ are coordinates of geodesic curve. The Christoffel symbols are defined as follows:

$$\Gamma_{\alpha\beta}^\gamma = \frac{1}{2} g^{\gamma\delta} \left(\frac{\partial g_{\alpha\delta}}{\partial x^\beta} + \frac{\partial g_{\beta\delta}}{\partial x^\alpha} - \frac{\partial g_{\alpha\beta}}{\partial x^\delta} \right).$$

For calculations we use the following expressions for geometrized material equations:

$$\begin{aligned} D^i &= \varepsilon^{ij} E_j + {}^{(1)}\gamma_j^i B^j, \\ H_i &= (\mu^{-1})_{ij} B^j + {}^{(2)}\gamma_i^j E_j, \\ \varepsilon_{-}^{i-j} &= -\sqrt{-g} (g^{00} g_{-}^{i-j} \circ g^{0i} g^{0j}), \\ (\mu^{-1})_{-}^{i-j} &= \sqrt{-g} \varepsilon_{m-n-i} \varepsilon_{k-l-j} g^{n-k} g^{m-l}, \\ {}^{(1)}\gamma_j^i &= {}^{(2)}\gamma_j^i = \sqrt{-g} \varepsilon_{k-l-j} g^{0k} g^{i-l}. \end{aligned} \quad (1)$$

Next, let us consider the isotropic and anisotropic cases.

A. Isotropic case

Consider the implementation of the inverse problem of geometrization for isotropic case. We will consider the case of diagonal metrics. All spatial diagonal components of the metric tensor are equal to each other. Thus, consider the following ansatz for the metric tensor:

$$\begin{aligned} g_{\underline{\alpha}\underline{\beta}} &= \begin{pmatrix} a^2 & 0 & 0 & 0 \\ 0 & -b^2 & 0 & 0 \\ 0 & 0 & -b^2 & 0 \\ 0 & 0 & 0 & -b^2 \end{pmatrix}, \\ g^{\underline{\alpha}\underline{\beta}} &= \begin{pmatrix} a^{-2} & 0 & 0 & 0 \\ 0 & -b^{-2} & 0 & 0 \\ 0 & 0 & -b^{-2} & 0 \\ 0 & 0 & 0 & -b^{-2} \end{pmatrix}, \\ \sqrt{-g} &= ab^3. \end{aligned} \quad (2)$$

From relations (III) we can write down the expressions for the permittivity and the permeability:

$$\begin{aligned} \varepsilon_{-}^{i-j} &= ab^3 a^{-2} \begin{pmatrix} b^{-2} & 0 & 0 \\ 0 & b^{-2} & 0 \\ 0 & 0 & b^{-2} \end{pmatrix} = \frac{b}{a} \begin{pmatrix} 1 & 0 & 0 \\ 0 & 1 & 0 \\ 0 & 0 & 1 \end{pmatrix} = \frac{b}{a} \delta_{-}^{i-j}, \\ (\mu^{-1})_{-}^{i-j} &= ab^3 \begin{pmatrix} b^{-4} & 0 & 0 \\ 0 & b^{-4} & 0 \\ 0 & 0 & b^{-4} \end{pmatrix} = \frac{a}{b} \begin{pmatrix} 1 & 0 & 0 \\ 0 & 1 & 0 \\ 0 & 0 & 1 \end{pmatrix} = \frac{a}{b} \delta_{-}^{i-j}. \end{aligned} \quad (3)$$

From equations (III A) we can write the permittivity and the permeability in the following form:

$$\begin{aligned}\varepsilon^{\underline{i}\underline{j}} &= \varepsilon \delta^{\underline{i}\underline{j}}, \quad \varepsilon = \frac{b}{a}, \\ (\mu^{-1})_{\underline{i}\underline{j}} &= \frac{1}{\mu} \delta_{\underline{i}\underline{j}}, \quad \mu = \frac{b}{a}.\end{aligned}\tag{4}$$

From (III A) it is clear that remains one free parameter. Let the free parameter be b . Then let:

$$a = \frac{b}{\varepsilon}.$$

Then, based on the ansatz (III A) we may write the metric tensor:

$$g_{\underline{\alpha}\underline{\beta}} = \begin{pmatrix} \frac{b^2}{\varepsilon^2} & 0 & 0 & 0 \\ 0 & -b^2 & 0 & 0 \\ 0 & 0 & -b^2 & 0 \\ 0 & 0 & 0 & -b^2 \end{pmatrix}.\tag{5}$$

We will focus on Tamm [1–3] approach. Let:

$$b^2 = \sqrt{\mu}.$$

Then the metric tensor (III A) we may rewrite:

$$g_{\underline{\alpha}\underline{\beta}} = \begin{pmatrix} \frac{\sqrt{\mu}}{\varepsilon^2} & 0 & 0 & 0 \\ 0 & -\sqrt{\mu} & 0 & 0 \\ 0 & 0 & -\sqrt{\mu} & 0 \\ 0 & 0 & 0 & -\sqrt{\mu} \end{pmatrix}.\tag{6}$$

Or, considering the ratio:

$$\varepsilon^{ij} (\mu^{-1})_{jk} = \delta_k^i,$$

it is possible to rewrite (III A) as

$$g_{\underline{\alpha}\underline{\beta}} = \begin{pmatrix} \frac{1}{\varepsilon\sqrt{\mu}} & 0 & 0 & 0 \\ 0 & -\sqrt{\mu} & 0 & 0 \\ 0 & 0 & -\sqrt{\mu} & 0 \\ 0 & 0 & 0 & -\sqrt{\mu} \end{pmatrix}.\tag{7}$$

This ratio coincides with the solution proposed by Tamm [3]. The expression (III A) or (III A) sets the effective geometry of the environment.

B. Anisotropic case

Consider the simplest version of anisotropic medium. For this let us consider the following ansatz for the metric tensor:

$$\begin{aligned}g_{\underline{\alpha}\underline{\beta}} &= \begin{pmatrix} (a_0)^2 & 0 & 0 & 0 \\ 0 & -(a_1)^2 & 0 & 0 \\ 0 & 0 & -(a_2)^2 & 0 \\ 0 & 0 & 0 & -(a_3)^2 \end{pmatrix}, \\ g^{\underline{\alpha}\underline{\beta}} &= \begin{pmatrix} (a_0)^{-2} & 0 & 0 & 0 \\ 0 & -(a_1)^{-2} & 0 & 0 \\ 0 & 0 & -(a_2)^{-2} & 0 \\ 0 & 0 & 0 & -(a_3)^{-2} \end{pmatrix}, \\ \sqrt{-g} &= a_0 a_1 a_2 a_3.\end{aligned}\tag{8}$$

From relations (III) we may write down the expressions for the permittivity and the permeability:

$$\varepsilon^{\underline{i}\underline{j}} = a_0 a_1 a_2 a_3 (a_0)^{-2} \begin{pmatrix} (a_1)^{-2} & 0 & 0 \\ 0 & (a_2)^{-2} & 0 \\ 0 & 0 & (a_3)^{-2} \end{pmatrix} = \begin{pmatrix} \varepsilon_1 & 0 & 0 \\ 0 & \varepsilon_1 & 0 \\ 0 & 0 & \varepsilon_1 \end{pmatrix}, \quad (9)$$

$$\begin{aligned} (\mu^{-1})_{\underline{i}\underline{j}} &= \\ &= a_0 a_1 a_2 a_3 \begin{pmatrix} (a_2)^{-2} (a_3)^{-2} & 0 & 0 \\ 0 & (a_3)^{-2} (a_1)^{-2} & 0 \\ 0 & 0 & (a_1)^{-2} (a_2)^{-2} \end{pmatrix} = \\ &= \begin{pmatrix} \frac{1}{\mu_1} & 0 & 0 \\ 0 & \frac{1}{\mu_2} & 0 \\ 0 & 0 & \frac{1}{\mu_3} \end{pmatrix}. \end{aligned} \quad (10)$$

From (IIIB) and (IIIB) the permittivity and the permeability are obtained as follows:

$$\begin{aligned} \varepsilon_1 &= \frac{\sqrt{-g}}{(a_0)^2 (a_1)^2}, & \varepsilon_2 &= \frac{\sqrt{-g}}{(a_0)^2 (a_2)^2}, & \varepsilon_3 &= \frac{\sqrt{-g}}{(a_0)^2 (a_3)^2}, \\ \mu_1 &= \frac{(a_2)^2 (a_3)^2}{\sqrt{-g}}, & \mu_2 &= \frac{(a_3)^2 (a_1)^2}{\sqrt{-g}}, & \mu_3 &= \frac{(a_1)^2 (a_2)^2}{\sqrt{-g}}. \end{aligned} \quad (11)$$

From (IIIB) we may write the following relations:

$$\begin{aligned} \mu_2 \mu_3 &= \frac{(a_3)^2 (a_1)^2}{\sqrt{-g}} \frac{(a_1)^2 (a_2)^2}{\sqrt{-g}} = \frac{(a_1)^4}{\sqrt{-g}} \frac{(a_2)^2 (a_3)^2}{\sqrt{-g}} = \frac{(a_1)^4}{\sqrt{-g}} \mu_1, \\ \mu_3 \mu_1 &= \frac{(a_1)^2 (a_2)^2}{\sqrt{-g}} \frac{(a_2)^2 (a_3)^2}{\sqrt{-g}} = \frac{(a_2)^4}{\sqrt{-g}} \frac{(a_3)^2 (a_1)^2}{\sqrt{-g}} = \frac{(a_2)^4}{\sqrt{-g}} \mu_2, \\ \mu_1 \mu_2 &= \frac{(a_2)^2 (a_3)^2}{\sqrt{-g}} \frac{(a_3)^2 (a_1)^2}{\sqrt{-g}} = \frac{(a_3)^4}{\sqrt{-g}} \frac{(a_1)^2 (a_2)^2}{\sqrt{-g}} = \frac{(a_3)^4}{\sqrt{-g}} \mu_3. \end{aligned}$$

Let us write out the coefficients:

$$\begin{aligned} a_1 &= \sqrt{\frac{\mu_2 \mu_3}{\mu_1}}, \\ a_2 &= \sqrt{\frac{\mu_3 \mu_1}{\mu_2}}, \\ a_3 &= \sqrt{\frac{\mu_1 \mu_2}{\mu_3}}. \end{aligned}$$

Thus, (IIIB) is changed to:

$$g_{\alpha\beta} = \begin{pmatrix} \frac{1}{\sqrt{\varepsilon_1 \varepsilon_2 \mu_3}} & 0 & 0 & 0 \\ 0 & -\sqrt{\frac{\mu_2 \mu_3}{\mu_1}} & 0 & 0 \\ 0 & 0 & -\sqrt{\frac{\mu_3 \mu_1}{\mu_2}} & 0 \\ 0 & 0 & 0 & -\sqrt{\frac{\mu_1 \mu_2}{\mu_3}} \end{pmatrix}. \quad (12)$$

It is easy to see that in the isotropic case, the ratio (IIIB) proceeds in the ratio of (IIIA). The expression (IIIB) sets the effective geometry of the environment.

IV. EXAMPLES OF LENSES CALCULATION IN GEOMETRICAL OPTICS

For examples of calculations we use a widely known Maxwell (fish-eye) [20], and Luneburg [21] lenses. Also, these lenses are important because for them one may obtain analytical solutions. In addition, convergence of solutions in the classical and geometrical approaches could be used for verification.

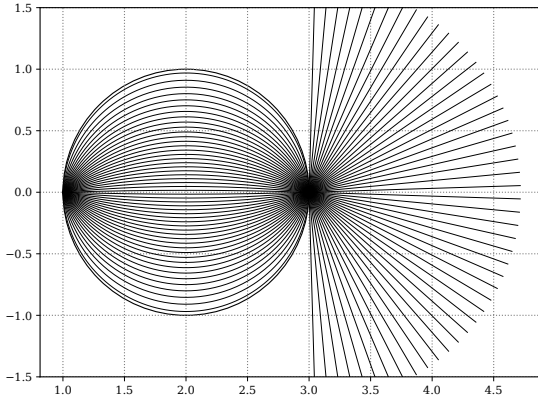


Figure 1. Ray trajectories as geodesic curves for Maxwell lens

A. Maxwell lens

Maxwell lens [20] is constructed so that, in special case, when the rays emit from a point source located one side of the lens, they are focused at one point on the opposite side of the lens.

The refractive index n changes from $2n_0$ in the centre up to n_0 at the surface:

$$n(r) = \begin{cases} \frac{2n_0}{1 + (\frac{r}{R})^2}, & r \leq R, \\ n_0, & r > R. \end{cases}$$

Here R is the radius of the sphere or cylinder. Also usually one consider $n_0 = 1$. Since in the method of the geometrization based on quadratic metric the permittivity and the permeability are equal, so we can write:

$$\begin{aligned} \varepsilon^{ij} &= \mu^{ij}, \\ \varepsilon^{ij} &= \varepsilon \delta^{ij}, \quad \mu^{ij} = \mu \delta^{ij}, \\ n &= \sqrt{\varepsilon \mu} = \varepsilon = \mu, \\ \varepsilon = \mu &= \frac{2}{1 + (\frac{r}{R})^2}, \quad r \leq R, n_0 := 1. \end{aligned}$$

Then, from (III A), we get the following metric:

$$g_{\alpha\beta} = \begin{pmatrix} \left(\frac{2}{1 + (\frac{r}{R})^2}\right)^{-3/2} & 0 & 0 & 0 \\ 0 & -\left(\frac{2}{1 + (\frac{r}{R})^2}\right)^{1/2} & 0 & 0 \\ 0 & 0 & -\left(\frac{2}{1 + (\frac{r}{R})^2}\right)^{1/2} & 0 \\ 0 & 0 & 0 & -\left(\frac{2}{1 + (\frac{r}{R})^2}\right)^{1/2} \end{pmatrix}.$$

Then we can depict the trajectories of rays as geodesic curves in this space (see Fig. 1). This figure shows that the behavior of the trajectories of the rays coincides with the theoretically predicted results from classical optics [20], that is, the rays, emerging from source on the surface of the lens, are focused at a point located on the the opposite surface of the lens.

B. Luneburg Lens

Luneburg lens [21, 22] is the gradient lens. The refractive index changes depending on the distance from the center (spherical lens) or from the axis (cylindrical lens). With the passage of the lens the parallel rays are focused at one point on the surface of the lens. The rays emitted by a point source on the surface lenses form a parallel beam.

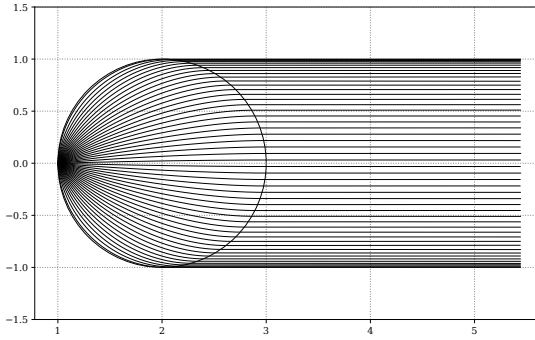


Figure 2. Ray trajectories as geodesic curves for Luneburg lens

The refractive index n changes from $\sqrt{2}n_0$ in the centre up to n_0 at the surface:

$$n(r) = \begin{cases} n_0 \sqrt{2 - \left(\frac{r}{R}\right)^2}, & r \leq R, \\ n_0, & r > R. \end{cases}$$

Here R is the radius of the sphere or cylinder. Also, usually one consider $n_0 = 1$.

Since in the method of the geometrization based on quadratic metric the permittivity and the permeability are equal, we can write:

$$\begin{aligned} \varepsilon^{ij} &= \mu^{ij}, \\ \varepsilon^{ij} &= \varepsilon \delta^{ij}, \quad \mu^{ij} = \mu \delta^{ij}, \\ n &= \sqrt{\varepsilon \mu} = \varepsilon = \mu, \\ \varepsilon = \mu &= \sqrt{2 - \left(\frac{r}{R}\right)^2}, \quad r \leq R, n_0 := 1. \end{aligned}$$

Then, from (III A), we get the following metric:

$$g_{\alpha\beta} = \begin{pmatrix} \left(2 - \frac{r}{R}\right)^{-3/4} & 0 & 0 & 0 \\ 0 & -\left(2 - \frac{r}{R}\right)^{1/4} & 0 & 0 \\ 0 & 0 & -\left(2 - \frac{r}{R}\right)^{1/4} & 0 \\ 0 & 0 & 0 & -\left(2 - \frac{r}{R}\right)^{1/4} \end{pmatrix}.$$

Then we can depict the trajectories of rays as geodesic curves in this space (see Fig. 2). This figure shows that the behavior of the trajectories of the rays coincides with the the theoretically prediction of classical optics [22]. The rays, which emerge from a point source on the surface of the lens, form a parallel beam.

V. CONCLUSION

The authors proposed the algorithm for the calculation of the lenses in the framework of the geometrical approach to optics. The ansatzes for cases of isotropic and anisotropic media are proposed. For example, the widely known Luneburg and Maxwell lenses demonstrate a coincidence of the classical and geometric approaches. For simplicity the calculations were performed only for geometrical optics.

Unfortunately, it is not clear if the proposed approach for lens calculation on the basis of geometrical optics has any advantages over classical one. This question will be the subject of further research.

ACKNOWLEDGMENTS

The work is partially supported by RFBR grants No's 15-07-08795 and 16-07-00556. Also the publication was prepared with the support of the “RUDN University Program 5-100”.

- [1] I. E. Tamm, Electrodynamics of an Anisotropic Medium in a Special Theory of Relativity, Russian Journal of Physical and Chemical Society. Part physical 56 (2-3) (1924) 248–262.
- [2] I. E. Tamm, Crystal Optics Theory of Relativity in Connection with Geometry Biquadratic Forms, Russian Journal of Physical and Chemical Society. Part physical 57 (3-4) (1925) 209–240.
- [3] I. E. Tamm, L. I. Mandelstam, Elektrodynamik der anisotropen Medien in der speziellen Relativitätstheorie, Mathematische Annalen 95 (1) (1925) 154–160.
- [4] W. Gordon, Zur Lichtfortpflanzung nach der Relativitätstheorie, Annalen der Physik 72 (1923) 421–456. doi:10.1002/andp.19233772202.
- [5] J. Plebanski, Electromagnetic Waves in Gravitational Fields, Physical Review 118 (5) (1960) 1396–1408. doi:10.1103/PhysRev.118.1396.
- [6] F. Felice, On the Gravitational Field Acting as an Optical Medium, General Relativity and Gravitation 2 (4) (1971) 347–357. doi:10.1007/BF00758153.
- [7] I. I. Smolyaninov, Metamaterial ‘Multiverse’, Journal of Optics 13 (2) (2011) 024004. arXiv:1005.1002, doi:10.1088/2040-8978/13/2/024004.
- [8] J. B. Pendry, D. Schurig, D. R. Smith, Controlling Electromagnetic Fields, Science 312 (5781) (2006) 1780–1782. doi:10.1126/science.1125907.
- [9] D. Schurig, J. B. Pendry, D. R. Smith, Calculation of Material Properties and Ray Tracing in Transformation Media, Optics express 14 (21) (2006) 9794–9804. arXiv:0607205, doi:10.1364/OE.14.009794.
- [10] U. Leonhardt, Optical Conformal Mapping, Science 312 (June) (2006) 1777–1780. arXiv:0602092, doi:10.1126/science.1218633.
- [11] U. Leonhardt, T. G. Philbin, Transformation Optics and the Geometry of Light, in: Progress in Optics, Vol. 53, 2009, pp. 69–152. arXiv:0805.4778v2, doi:10.1016/S0079-6638(08)00202-3.
- [12] R. Foster, P. Grant, Y. Hao, A. Hibbins, T. Philbin, R. Sambles, Spatial Transformations: from Fundamentals to Applications, Philosophical Transactions of the Royal Society A: Mathematical, Physical and Engineering Sciences 373 (2049) (2015) 20140365. doi:10.1098/rsta.2014.0365.
- [13] R. Penrose, W. Rindler, Spinors and Space-Time: Volume 1, Two-Spinor Calculus and Relativistic Fields, Vol. 1, Cambridge University Press, 1987. doi:10.1017/CBO9780511564048.
- [14] D. S. Kulyabov, Using two Types of Computer Algebra Systems to Solve Maxwell Optics Problems, Programming and Computer Software 42 (2) (2016) 77–83. arXiv:1605.00832, doi:10.1134/S0361768816020043.
- [15] A. V. Korol'kova, D. S. Kulyabov, L. A. Sevast'yanov, Tensor Computations in Computer Algebra Systems, Programming and Computer Software 39 (3) (2013) 135–142. arXiv:1402.6635, doi:10.1134/S0361768813030031.
- [16] M. Born, E. Wolf, Principles of Optics: Electromagnetic Theory of Propagation, Interference, and Diffraction of Light, 7th Edition, Cambridge University Press, Cambridge, 1999.
- [17] H. Bruns, Das Eikonal, Vol. 35, S. Hirzel, Leipzig, 1895.
- [18] L. D. Landau, E. M. Lifshitz, The Classical Theory of Fields, 4th Edition, Course of Theoretical Physics. Vol. 2, Butterworth-Heinemann, 1975.
- [19] C. W. Misner, K. S. Thorne, J. A. Wheeler, Gravitation, W. H. Freeman, San Francisco, 1973.
- [20] J. C. Maxwell, Solutions of Problems (prob. 3, vol. VIII, p. 188), The Cambridge and Dublin mathematical journal 9 (1854) 9–11.
- [21] R. K. Luneburg, Mathematical Theory of Optics, University of California Press, Berkeley & Los Angeles, 1964.
- [22] S. P. Morgan, General Solution of the Luneberg Lens Problem, Journal of Applied Physics 29 (9) (1958) 1358. doi:10.1063/1.1723441.

Алгоритм расчёта линз в геометризованной теории Максвелла

М. Н. Геворкян,^{1,*} А. В. Демидова,^{1,†} А. В. Королькова,^{1,‡} Д. С. Кулябов,^{1,2,§} и Л. А. Севастьянов^{1,3,¶}

¹*Кафедра прикладной информатики и теории вероятностей,*

Российский университет дружбы народов,

ул. Миклухо-Маклая, д. 6, Москва, Россия, 117198

²*Лаборатория информационных технологий,*

Объединённый институт ядерных исследований,

ул. Жолио-Кюри 6, Дубна, Московская область, Россия, 141980

³*Лаборатория теоретической физики,*

Объединённый институт ядерных исследований,

ул. Жолио-Кюри 6, Дубна, Московская область, Россия, 141980

Для нахождения параметров среды по траекториям распространения электромагнитного излучения всё чаще используется геометрический подход к оптике, поскольку в данном подходе эта задача является прямой. Однако обратной задаче в рамках геометризованной оптики обычно не уделяется внимания.

Целью данной работы является демонстрация предлагаемого в рамках геометрического подхода к оптике алгоритма решения задачи нахождения траектории распространения электромагнитного излучения в зависимости от параметров среды. Для получения алгоритма авторами сформулирована обратная задача геометрического подхода к оптике. С помощью методов дифференциальной геометрии построены метрики эффективного пространства для изотропной и анизотропной среды. Траектории лучей получены в форме геодезических (приближение геометрической оптики) в эффективном пространстве. Алгоритм применён для нахождения траекторий лучей для широко известных объектов — линза Максвелла и Лунеберга. Продемонстрировано совпадение результатов геометризованной и классической оптики.

Ключевые слова: уравнения Максвелла, риманова метрика, расслоенные пространства, линза Максвелла, линза Лунеберга

* gevorkyan_mn@rudn.university

† demidova_av@rudn.university

‡ korolkova_av@rudn.university

§ kulyabov_ds@rudn.university

¶ sebastianov_la@rudn.university

I. ВВЕДЕНИЕ

Геометрический подход к уравнениям Максвелла прошёл несколько этапов в своём развитии. Первоначальный интерес был вызван общей теорией относительности. Это работы Л. И. Мандельштама, И. Е. Тамма [1–3], В. Гордона [4]. В отсутствии практических приложений интерес к данной теме угас. Новая вспышка интереса возникла во время золотого века теории относительности (1960–1975 гг.). Это работы Е. Плебаньского [5], Ф. де Феличе [6]. Впрочем, следует заметить, что и в этот период не удалось определиться с приложениями данной теории.

Новая вспышка интереса к геометрическому подходу проявилась в середине 2000-х годов на фоне интереса к метаматериалам [7]. Это работы Д. Б. Пенди [8, 9] и У. Леонгардта [10, 11]. Эти работы породили целое направление — трансформационную оптику [12].

В классическом подходе к оптике обычно прямая и обратная задача формулируются следующим образом:

- прямая задача: по параметрам среды получить пути распространения электромагнитных волн;
- обратная задача: по заданным путям распространения электромагнитных волн получить параметры среды.

При геометрическом подходе к оптике эти задачи меняются местами:

- прямая задача: по заданным путям распространения электромагнитных волн получить параметры среды;
- обратная задача: по параметрам среды получить путь распространения электромагнитных волн.

Таким образом, трансформационная оптика работает с прямой задачей геометризованной оптики (обратной задачей классической оптики).

Обычно при использовании геометризованной оптики решают только прямую задачу, то есть задачу нахождения параметров среды по траекториям распространения электромагнитных волн. При этом практически не уделяется внимание обратной задаче, то есть нахождению траекторий распространения электромагнитных волн по известным параметрам среды.

Работа ставит целью последовательно изложить алгоритм расчёта линз в геометризованной оптике и продемонстрировать совпадение результатов его применения с результатами классического подхода к оптике.

Структура работы следующая. В разделе II даются основные обозначения и соглашения, применяемые в данной работе. В разделе III описывается собственно алгоритм для обратной задачи геометризованной оптики. В разделе IV приведены примеры расчёта конкретных линз. Результаты численного эксперимента продемонстрированы на иллюстрациях.

II. ОБОЗНАЧЕНИЯ И СОГЛАШЕНИЯ

1. Будем использовать нотацию абстрактных индексов [13]. В данной нотации тензор как целостный объект обозначается просто индексом (например, x^i), компоненты обозначаются подчёркнутым индексом (например, \underline{x}^i).
2. Будем придерживаться следующих соглашений. Греческие индексы (α, β) будут относиться к четырёхмерному пространству и в компонентном виде будут иметь следующие значения: $\underline{\alpha} = \overline{0, 3}$. Латинские индексы из середины алфавита (i, j, k) будут относиться к трёхмерному пространству и в компонентном виде будут иметь следующие значения: $\underline{i} = \overline{1, 3}$.

III. АЛГОРИТМ РЕШЕНИЯ ОБРАТНОЙ ЗАДАЧИ ГЕОМЕТРИЗОВАННОЙ ОПТИКИ

Хотя геометризованная оптика имеет в качестве прямой задачи получение параметров среды по траекториям распространения лучей, возможно и решение обратной задачи. То есть с помощью геометризованной оптики возможен и расчёт линз.

Рассмотрим несколько вариантов решения обратной задачи геометризованной оптики, а именно случаи изотропной и анизотропной сред.

Будем использовать следующий алгоритм решения обратной задачи.

1. Входными данными для нас являются параметры среды, такие как диэлектрическая проницаемость ε_{ij} , магнитная проницаемость μ_{ij} , показатель преломления n_{ij} . В связи со спецификой геометризации на основе квадратичной метрики реально учитывается только показатель преломления.

2. Исходя из физических соображений, подбирается анзац для эффективного метрического тензора $g_{\alpha\beta}$.
3. На основании анзаца получаем общий вид эффективного метрического тензора $g_{\alpha\beta}$. Данный процесс итеративный. Нет никакой гарантии, что наперёд заданный анзац даст возможность получить метрический тензор. В этом случае следует заменить анзац.
4. Подставляя конкретные значения параметров среды, получим конкретную реализацию эффективного метрического тензора $g_{\alpha\beta}$.

Имея эффективный метрический тензор, можно решить геометризованные уравнения Максвелла и получить искомые траектории распространения электромагнитных волн [14, 15]. В рамках статьи упростим задачу и будем использовать приближение геометрической оптики [16, 17]. В этом случае лучи будут распространяться по геодезическим [18, 19]:

$$\frac{d^2x^\gamma}{dt^2} + \Gamma_{\alpha\beta}^\gamma \frac{dx^\alpha}{dt} \frac{dx^\beta}{dt} = 0,$$

где $x^\gamma(t)$ — координаты геодезической. Символы Кристоффеля задаются следующим образом:

$$\Gamma_{\alpha\beta}^\gamma = \frac{1}{2} g^{\gamma\delta} \left(\frac{\partial g_{\alpha\delta}}{\partial x^\beta} + \frac{\partial g_{\beta\delta}}{\partial x^\alpha} - \frac{\partial g_{\alpha\beta}}{\partial x^\delta} \right).$$

Для расчётов будем использовать следующие выражения для геометризованных материальных уравнений:

$$\begin{aligned} D^i &= \varepsilon^{ij} E_j + {}^{(1)}\gamma_j^i B^j, \\ H_i &= (\mu^{-1})_{ij} B^j + {}^{(2)}\gamma_i^j E_j, \\ \varepsilon_-^{ij} &= -\sqrt{-g} (g^{00} g^{ij} - g^{0i} g^{0j}), \\ (\mu^{-1})_{ij} &= \sqrt{-g} \varepsilon_{mn} \varepsilon_{kl} g^{nk} g^{ml}, \\ {}^{(1)}\gamma_j^i &= {}^{(2)}\gamma_j^i = \sqrt{-g} \varepsilon_{kl} g^{0k} g^{il}. \end{aligned} \tag{1}$$

Далее перейдём к рассмотрению изотропного и анизотропного случаев.

A. Изотропный случай

Рассмотрим реализацию обратной задачи геометризации для изотропного случая. Будем рассматривать случай диагональной метрики. Все пространственные диагональные компоненты метрического тензора равны между собой. Таким образом, рассмотрим следующий анзац для метрического тензора:

$$\begin{aligned} g_{\underline{\alpha}\underline{\beta}} &= \begin{pmatrix} a^2 & 0 & 0 & 0 \\ 0 & -b^2 & 0 & 0 \\ 0 & 0 & -b^2 & 0 \\ 0 & 0 & 0 & -b^2 \end{pmatrix}, \\ g^{\underline{\alpha}\underline{\beta}} &= \begin{pmatrix} a^{-2} & 0 & 0 & 0 \\ 0 & -b^{-2} & 0 & 0 \\ 0 & 0 & -b^{-2} & 0 \\ 0 & 0 & 0 & -b^{-2} \end{pmatrix}, \\ \sqrt{-g} &= ab^3. \end{aligned} \tag{2}$$

Из соотношений (III) запишем выражения для диэлектрической и магнитной проницаемостей:

$$\begin{aligned} \varepsilon_-^{ij} &= ab^3 a^{-2} \begin{pmatrix} b^{-2} & 0 & 0 \\ 0 & b^{-2} & 0 \\ 0 & 0 & b^{-2} \end{pmatrix} = \frac{b}{a} \begin{pmatrix} 1 & 0 & 0 \\ 0 & 1 & 0 \\ 0 & 0 & 1 \end{pmatrix} = \frac{b}{a} \delta^{ij}, \\ (\mu^{-1})_{ij} &= ab^3 \begin{pmatrix} b^{-4} & 0 & 0 \\ 0 & b^{-4} & 0 \\ 0 & 0 & b^{-4} \end{pmatrix} = \frac{a}{b} \begin{pmatrix} 1 & 0 & 0 \\ 0 & 1 & 0 \\ 0 & 0 & 1 \end{pmatrix} = \frac{a}{b} \delta_{ij}. \end{aligned} \tag{3}$$

Из (III A) запишем проницаемости в следующем виде:

$$\begin{aligned}\varepsilon^{\underline{i}\underline{j}} &= \varepsilon \delta^{\underline{i}\underline{j}}, \quad \varepsilon = \frac{b}{a}, \\ (\mu^{-1})_{\underline{i}\underline{j}} &= \frac{1}{\mu} \delta_{\underline{i}\underline{j}}, \quad \mu = \frac{b}{a}.\end{aligned}\tag{4}$$

Из (III A) видно, что у нас остаётся один свободный параметр. Пусть свободным параметром будет b . Тогда положим:

$$a = \frac{b}{\varepsilon}.$$

Тогда на основе анзаца (III A) запишем метрический тензор:

$$g_{\underline{\alpha}\underline{\beta}} = \begin{pmatrix} \frac{b^2}{\varepsilon^2} & 0 & 0 & 0 \\ 0 & -b^2 & 0 & 0 \\ 0 & 0 & -b^2 & 0 \\ 0 & 0 & 0 & -b^2 \end{pmatrix}.\tag{5}$$

Будем ориентироваться на идеи Тамма [1–3]. Положим:

$$b^2 = \sqrt{\mu}.$$

Тогда (III A) запишется следующим образом:

$$g_{\underline{\alpha}\underline{\beta}} = \begin{pmatrix} \frac{\sqrt{\mu}}{\varepsilon^2} & 0 & 0 & 0 \\ 0 & -\sqrt{\mu} & 0 & 0 \\ 0 & 0 & -\sqrt{\mu} & 0 \\ 0 & 0 & 0 & -\sqrt{\mu} \end{pmatrix}.\tag{6}$$

Или, учитывая соотношение:

$$\varepsilon^{ij} (\mu^{-1})_{jk} = \delta_k^i,$$

можно переписать (III A) как

$$g_{\underline{\alpha}\underline{\beta}} = \begin{pmatrix} \frac{1}{\varepsilon\sqrt{\mu}} & 0 & 0 & 0 \\ 0 & -\sqrt{\mu} & 0 & 0 \\ 0 & 0 & -\sqrt{\mu} & 0 \\ 0 & 0 & 0 & -\sqrt{\mu} \end{pmatrix}.\tag{7}$$

Это соотношение совпадает с решением, предложенным Таммом [3]. Выражение (III A) или (III A) задаёт эффективную геометрию исследуемого пространства.

B. Анизотропный случай

Рассмотрим простейший вариант анизотропной среды. Для этого рассмотрим следующий анзац для метрического тензора:

$$\begin{aligned}g_{\underline{\alpha}\underline{\beta}} &= \begin{pmatrix} (a_0)^2 & 0 & 0 & 0 \\ 0 & -(a_1)^2 & 0 & 0 \\ 0 & 0 & -(a_2)^2 & 0 \\ 0 & 0 & 0 & -(a_3)^2 \end{pmatrix}, \\ g^{\underline{\alpha}\underline{\beta}} &= \begin{pmatrix} (a_0)^{-2} & 0 & 0 & 0 \\ 0 & -(a_1)^{-2} & 0 & 0 \\ 0 & 0 & -(a_2)^{-2} & 0 \\ 0 & 0 & 0 & -(a_3)^{-2} \end{pmatrix}, \\ \sqrt{-g} &= a_0 a_1 a_2 a_3.\end{aligned}\tag{8}$$

Из соотношений (III) запишем выражения для диэлектрической и магнитной проницаемостей:

$$\varepsilon_{\underline{i}\underline{j}}^{\underline{i}\underline{j}} = a_0 a_1 a_2 a_3 (a_0)^{-2} \begin{pmatrix} (a_1)^{-2} & 0 & 0 \\ 0 & (a_2)^{-2} & 0 \\ 0 & 0 & (a_3)^{-2} \end{pmatrix} = \begin{pmatrix} \varepsilon_1 & 0 & 0 \\ 0 & \varepsilon_1 & 0 \\ 0 & 0 & \varepsilon_1 \end{pmatrix}, \quad (9)$$

$$\begin{aligned} (\mu^{-1})_{\underline{i}\underline{j}} &= \\ &= a_0 a_1 a_2 a_3 \begin{pmatrix} (a_2)^{-2} (a_3)^{-2} & 0 & 0 \\ 0 & (a_3)^{-2} (a_1)^{-2} & 0 \\ 0 & 0 & (a_1)^{-2} (a_2)^{-2} \end{pmatrix} = \\ &= \begin{pmatrix} \frac{1}{\mu_1} & 0 & 0 \\ 0 & \frac{1}{\mu_2} & 0 \\ 0 & 0 & \frac{1}{\mu_3} \end{pmatrix}. \end{aligned} \quad (10)$$

Из (III B) и (III B) запишем проницаемости в следующем виде:

$$\begin{aligned} \varepsilon_1 &= \frac{\sqrt{-g}}{(a_0)^2 (a_1)^2}, & \varepsilon_2 &= \frac{\sqrt{-g}}{(a_0)^2 (a_2)^2}, & \varepsilon_3 &= \frac{\sqrt{-g}}{(a_0)^2 (a_3)^2}, \\ \mu_1 &= \frac{(a_2)^2 (a_3)^2}{\sqrt{-g}}, & \mu_2 &= \frac{(a_3)^2 (a_1)^2}{\sqrt{-g}}, & \mu_3 &= \frac{(a_1)^2 (a_2)^2}{\sqrt{-g}}. \end{aligned} \quad (11)$$

Из (III B) выпишем следующие соотношения:

$$\begin{aligned} \mu_2 \mu_3 &= \frac{(a_3)^2 (a_1)^2}{\sqrt{-g}} \frac{(a_1)^2 (a_2)^2}{\sqrt{-g}} = \frac{(a_1)^4}{\sqrt{-g}} \frac{(a_2)^2 (a_3)^2}{\sqrt{-g}} = \frac{(a_1)^4}{\sqrt{-g}} \mu_1, \\ \mu_3 \mu_1 &= \frac{(a_1)^2 (a_2)^2}{\sqrt{-g}} \frac{(a_2)^2 (a_3)^2}{\sqrt{-g}} = \frac{(a_2)^4}{\sqrt{-g}} \frac{(a_3)^2 (a_1)^2}{\sqrt{-g}} = \frac{(a_2)^4}{\sqrt{-g}} \mu_2, \\ \mu_1 \mu_2 &= \frac{(a_2)^2 (a_3)^2}{\sqrt{-g}} \frac{(a_3)^2 (a_1)^2}{\sqrt{-g}} = \frac{(a_3)^4}{\sqrt{-g}} \frac{(a_1)^2 (a_2)^2}{\sqrt{-g}} = \frac{(a_3)^4}{\sqrt{-g}} \mu_3. \end{aligned}$$

Выразим коэффициенты:

$$\begin{aligned} a_1 &= \sqrt{\frac{\mu_2 \mu_3}{\mu_1}}, \\ a_2 &= \sqrt{\frac{\mu_3 \mu_1}{\mu_2}}, \\ a_3 &= \sqrt{\frac{\mu_1 \mu_2}{\mu_3}}. \end{aligned}$$

Таким образом (III B) запишется следующим образом:

$$g_{\underline{\alpha}\underline{\beta}} = \begin{pmatrix} \frac{1}{\sqrt{\varepsilon_1 \varepsilon_2 \mu_3}} & 0 & 0 & 0 \\ 0 & -\sqrt{\frac{\mu_2 \mu_3}{\mu_1}} & 0 & 0 \\ 0 & 0 & -\sqrt{\frac{\mu_3 \mu_1}{\mu_2}} & 0 \\ 0 & 0 & 0 & -\sqrt{\frac{\mu_1 \mu_2}{\mu_3}} \end{pmatrix}. \quad (12)$$

Легко видеть, что в изотропном случае соотношение (III B) переходит в соотношение (III A). Выражение (III B) задаёт эффективную геометрию исследуемого пространства.

IV. ПРИМЕРЫ РАСЧЁТА ЛИНЗ В ГЕОМЕТРИЗОВАННОЙ ОПТИКЕ

Для примеров расчётов нами выбраны широко известные объекты: линза Максвелла («рыбий глаз») [20] и линза Люнеберга [21]. Также эти объекты привлекательны тем, что позволяют получить аналитические выражения для решений. Кроме того, совпадение решений в случае классического и геометризованного подходов может служить целям верификации.

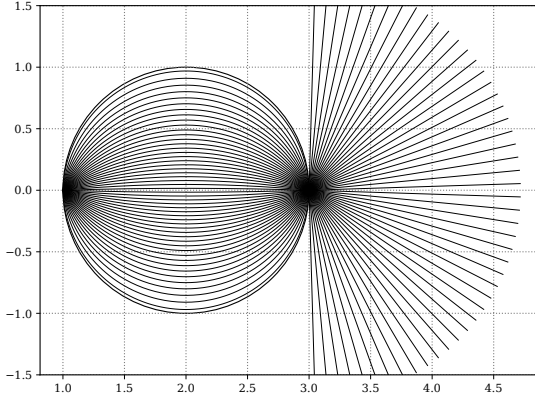


Рис. 1. Траектории лучей как геодезические для линзы Максвелла

A. Линза Максвелла

Линза Максвелла [20] строится так, что, в частном случае, при испускании лучей из точечного источника, находящегося с одной стороны линзы, лучи фокусируются в одной точке на противоположной поверхности линзы.

Показатель преломления n меняется от $2n_0$ в центре до n_0 на поверхности:

$$n(r) = \begin{cases} \frac{2n_0}{1 + (\frac{r}{R})^2}, & r \leq R, \\ n_0, & r > R. \end{cases}$$

Здесь R — радиус сферы либо цилиндра. Также обычно полагают $n_0 = 1$. Поскольку в методе геометризации на основе квадратичной метрики диэлектрическая и магнитная проницаемость равны, то запишем:

$$\begin{aligned} \varepsilon^{ij} &= \mu^{ij}, \\ \varepsilon^{ij} &= \varepsilon \delta^{ij}, \quad \mu^{ij} = \mu \delta^{ij}, \\ n &= \sqrt{\varepsilon \mu} = \varepsilon = \mu, \\ \varepsilon = \mu &= \frac{2}{1 + (\frac{r}{R})^2}, \quad r \leq R, n_0 := 1. \end{aligned}$$

Тогда, учитывая (III A), получим следующую метрику:

$$g_{\underline{\alpha}\underline{\beta}} = \begin{pmatrix} \left(\frac{2}{1 + (\frac{r}{R})^2}\right)^{-3/2} & 0 & 0 & 0 \\ 0 & -\left(\frac{2}{1 + (\frac{r}{R})^2}\right)^{1/2} & 0 & 0 \\ 0 & 0 & -\left(\frac{2}{1 + (\frac{r}{R})^2}\right)^{1/2} & 0 \\ 0 & 0 & 0 & -\left(\frac{2}{1 + (\frac{r}{R})^2}\right)^{1/2} \end{pmatrix}.$$

Тогда можно изобразить траектории лучей как геодезические в этом пространстве (см. рис. 1). Из этого рисунка видно, что поведение траекторий лучей совпадает с теоретически предсказанным классической оптикой [20], то есть лучи, выходящие из источника на поверхности линзы, собираются в точке, находящейся на противоположной поверхности линзы.

B. Линза Люнеберга

Линза Люнеберга [21, 22] есть градиентная линза. Показатель преломления изменяется в зависимости от расстояния от центра (сферическая линза) или от оси (цилиндрическая линза). При прохождении линзы

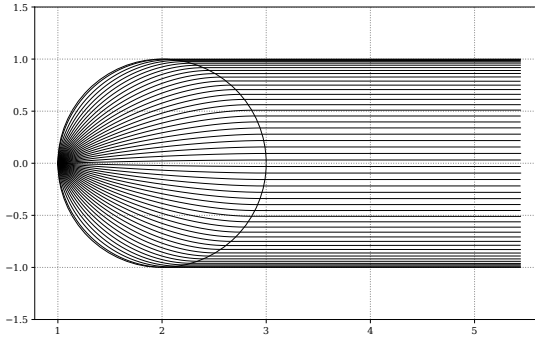


Рис. 2. Траектории лучей как геодезические для линзы Люнеберга

параллельные лучи фокусируются в одной точке на поверхности линзы. Лучи, испущенные точечным источником на поверхности линзы формируют параллельный пучок.

Показатель преломления n меняется от $\sqrt{2}n_0$ в центре до n_0 на поверхности:

$$n(r) = \begin{cases} n_0 \sqrt{2 - \left(\frac{r}{R}\right)^2}, & r \leq R, \\ n_0, & r > R. \end{cases}$$

Здесь R — радиус сферы либо цилиндра. Также обычно полагают $n_0 = 1$.

Поскольку в методе геометризации на основе квадратичной метрики диэлектрическая и магнитная проницаемость равны, то запишем:

$$\begin{aligned} \varepsilon^{i\bar{j}} &= \mu^{i\bar{j}}, \\ \varepsilon^{\bar{i}j} &= \varepsilon \delta^{\bar{i}j}, \quad \mu^{\bar{i}j} = \mu \delta^{\bar{i}j}, \\ n &= \sqrt{\varepsilon \mu} = \varepsilon = \mu, \\ \varepsilon = \mu &= \sqrt{2 - \left(\frac{r}{R}\right)^2}, \quad r \leq R, n_0 := 1. \end{aligned}$$

Тогда, учитывая (III A), получим следующую метрику:

$$g_{\underline{\alpha}\underline{\beta}} = \begin{pmatrix} \left(2 - \frac{r}{R}\right)^{-3/4} & 0 & 0 & 0 \\ 0 & -\left(2 - \frac{r}{R}\right)^{1/4} & 0 & 0 \\ 0 & 0 & -\left(2 - \frac{r}{R}\right)^{1/4} & 0 \\ 0 & 0 & 0 & -\left(2 - \frac{r}{R}\right)^{1/4} \end{pmatrix}.$$

Тогда можно изобразить траектории лучей как геодезические в этом пространстве (см. рис. 2). Из этого рисунка видно, что поведение траекторий лучей совпадает с теоретически предсказанным классической оптикой [22], то есть лучи, выходящие из точечного источника на поверхности линзы формируют параллельный пучок.

V. ЗАКЛЮЧЕНИЕ

Авторами в работе предложен алгоритм расчёта линз в рамках геометрического подхода к оптике. Предложены анансы для случаев пространственно изотропной и анизотропной сред. На примере широко известных линз Максвелла и Люнеберга продемонстрировано совпадение результатов классического и геометрического подходов. Для простоты расчёты проводились в пределе геометрической оптики.

К сожалению, пока не понятно, даёт ли предлагаемый подход расчёта линз на основе геометризованной оптики какие-либо преимущества по сравнению с классической оптикой. Этот вопрос должен являться предметом дальнейших исследований.

БЛАГОДАРНОСТИ

Работа частично поддержана грантами РФФИ № 15-07-08795, 16-07-00556. Также публикация подготовлена при поддержке программы РУДН «5-100».

- [1] Тамм И. Е. Электродинамика анизотропной среды в специальной теории относительности // Журнал Русского физико-химического общества. Часть физическая. — 1924. — Т. 56, № 2-3. — С. 248–262.
- [2] Тамм И. Е. Кристаллооптика теории относительности в связи с геометрией биквадратичной формы // Журнал Русского физико-химического общества. Часть физическая. — 1925. — Т. 57, № 3-4. — С. 209–240.
- [3] Tamm I. E., Mandelstam L. I. Elektrodynamik der anisotropen Medien in der speziellen Relativitätstheorie // Mathematische Annalen. — 1925. — Bd. 95, H. 1. — S. 154–160.
- [4] Gordon W. Zur Lichtfortpflanzung nach der Relativitätstheorie // Annalen der Physik. — 1923. — Bd. 72. — S. 421–456.
- [5] Plebanski J. Electromagnetic Waves in Gravitational Fields // Physical Review. — 1960. — Vol. 118, no. 5. — P. 1396–1408.
- [6] Felice F. On the Gravitational Field Acting as an Optical Medium // General Relativity and Gravitation. — 1971. — Vol. 2, no. 4. — P. 347–357.
- [7] Smolyaninov I. I. Metamaterial ‘Multiverse’ // Journal of Optics. — 2011. — Vol. 13, no. 2. — P. 024004. — 1005.1002.
- [8] Pendry J. B., Schurig D., Smith D. R. Controlling Electromagnetic Fields // Science. — 2006. — Vol. 312, no. 5781. — P. 1780–1782.
- [9] Schurig D., Pendry J. B., Smith D. R. Calculation of Material Properties and Ray Tracing in Transformation Media // Optics express. — 2006. — Vol. 14, no. 21. — P. 9794–9804. — 0607205.
- [10] Leonhardt U. Optical Conformal Mapping // Science. — 2006. — Vol. 312, no. June. — P. 1777–1780. — 0602092.
- [11] Leonhardt U., Philbin T. G. Transformation Optics and the Geometry of Light // Progress in Optics. — 2009. — Vol. 53. — P. 69–152. — 0805.4778v2.
- [12] Foster R., Grant P., Hao Y., Hibbins A., Philbin T., Sambles R. Spatial Transformations: from Fundamentals to Applications // Philosophical Transactions of the Royal Society A: Mathematical, Physical and Engineering Sciences. — 2015. — aug. — Vol. 373, no. 2049. — P. 20140365.
- [13] Пенроуз Р., Ринделер В. Спиноры и пространство-время. Два-спинорное исчисление и релятивистские поля. — Москва : Мир, 1987. — Т. 1. — С. 527.
- [14] Kulyabov D. S. Using two Types of Computer Algebra Systems to Solve Maxwell Optics Problems // Programming and Computer Software. — 2016. — Vol. 42, no. 2. — P. 77–83. — 1605.00832.
- [15] Korol'kova A. V., Kulyabov D. S., Sevast'yanov L. A. Tensor Computations in Computer Algebra Systems // Programming and Computer Software. — 2013. — Vol. 39, no. 3. — P. 135–142. — 1402.6635.
- [16] Борн М., Вольф Э. Основы оптики. — 2е изд. изд. — Наука, 1973.
- [17] Bruns H. Das Eikonal. — Leipzig : S. Hirzel, 1895. — Bd. 35. — S. 325–435.
- [18] Ландау Л. Д., Лифшиц Е. М. Теория поля. Теоретическая физика. Т. II. — 8-е изд. — Москва : Физматлит, 2012. — С. 536.
- [19] Мизнер Ч., Торн К., Уилер Д. А. Гравитация. — Мир изд. — Москва, 1977. — Т. 1. — С. 474.
- [20] Maxwell J. C. Solutions of Problems (prob. 3, vol. VIII, p. 188) // The Cambridge and Dublin mathematical journal. — 1854. — Vol. 9. — P. 9–11.
- [21] Luneburg R. K. Mathematical Theory of Optics. — Berkeley & Los Angeles : University of California Press, 1964. — P. 448.
- [22] Morgan S. P. General Solution of the Luneberg Lens Problem // Journal of Applied Physics. — 1958. — Vol. 29, no. 9. — P. 1358.